

V-11 黒ボクのくり返し試験における間ゲキ水圧の変化

熊本大学工学部 正員 鈴木敦巳
熊本大学工学部 正員 ○北園芳人

1. まえがき

黒ボクは有機質火山灰土であり、土質工学的に特異な性質を持つ、といふ。その一つとして、自然含水比250%という高含水比であるため、不搅乱土の一軸圧縮強度は0.7kg/cm²の強度を示すが、しかし、ねり返した場合は三軸用試体は自立できないほどの強度低下を示し、外カエネルギーに対する影響が悪影響を与えていふと考えられる。このような黒ボクに対して、これまで実験試験(JIS1210)相当のエネルギーで充固めた供試体(高さ125mm、直径50mm)について、三軸圧縮試験機で等方圧密後、くり返し非排水三軸試験を行なってきた。その結果、等方圧密後の供試体は飽和度97%前後の高飽和度を示し、飽和土に近いと考えられる。そのため、10万回くり返し載荷後の非排水三軸圧縮強度には高々20%前後の強度増加しかみられないが、変形係数においては150%を越す増加がみられる。²⁾つまり、高飽和度であるため、過剰間ゲキ水圧が発生し、有効応力が低下し破壊強度に増加がみられないと考えられる。そこで今回は、くり返し載荷によって生じる過剰間ゲキ水圧の発生について若干述べてみたい。

2. 実験方法

¹⁾ 試料は既報で用いたものと同じで物理的性質・供試体の諸元は、 $w=235\%$, $G_s=2.37$, $U_L=258\%$, $W_p=186\%$, 有機物32%, $\gamma_c=0.33\text{kg/cm}^3$, $c=6.00$, $\phi_r=94.1\%$ である。供試体は一週間以上養生した後、三軸圧縮試験機を用いて各拘束圧で等方圧密を行ない、載荷0.5秒、除荷0.5秒の周期1.0秒で 10^3 回載荷を行なった。くり返し荷重は各拘束圧での等方圧密供試体の破壊強度(ひ-ひ)の25, 40, 55, 70, 85%とした。間ゲキ水圧の測定は供試体底面のポーラストンを通して、水銀マノメータで行なった。

3. 実験結果と考察

くり返し荷重を受けたことにより、高飽和度の供試体には、過剰間ゲキ水圧が発生する。載荷回数Nと対数軸にとり、 $\Delta U - \log N$ で表わすと図-1のようになる。図-1に示されるように $N=10^3$ 回以前では ΔU の増加は顕著とはいえない。 $N=10^3$ 回前後から急激に増加はじめる。 $\Delta U - \log N$ 曲線においては、 $N=10^3 \sim 3 \times 10^3$ 回の間で変曲点があらわれ、 $N=10^4$ 回では、 ΔU の増加がほぼ落ち着く傾向にある。すなわち、 $N=10^3$ 回以前で ΔU の増加が顕著でないのは、次のようなことが考えられる。供試体は各拘束圧で一次圧密が終了するまで等方圧密を行なったことにより、飽和度も増加しており、飽和土に近づいているが、完全飽和土とはいえない。さらに試料が、有機物の含有量の多い火山灰質粘性土であるため、非結晶質の粘土鉱物アロエジンや有機物等の強度に好ましくない成分から成り立っているため、応力の伝播状態が悪い。そのため、飽和粘性土の過剰間ゲキ水圧が増加する載荷回数に比較して黒ボクの方が載荷回数が多くなる(時間的に遅れて)はじめて、過剰間ゲキ水圧が増加し始めるのではないか。また間ゲキ水圧は供試体の底面のポーラストンを通して測定している。そして、くり返し荷重は供試体の上面から作用しているため、くり返しが影響による過剰間ゲキ水圧の発生と測定との間に時間的差があると考えられる。すなわち、両者の影響等によつて、過剰間ゲキ水圧の発生が時間的に遅れると思われる。

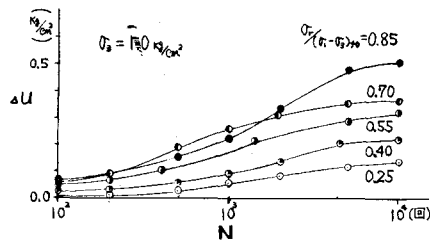


図-1 載荷回数(N)-間ゲキ水圧(ΔU)曲線

また $N=10$ 回付近で間ゲキ水圧の増加はほとんど見られなくなるのは、くり返し載荷による影響(土粒子の構造変化)がほとんど終了し、間ゲキ水圧が平衡状態に達したものの、あるいは、間ゲキ水圧の増加によって平均有効主応力が低下し、破壊包絡線に達して破壊に至るものであるか、はっきりしない。そこで、 σ_u と N の関係を図-2のように N を 10^3 で割り、 $\sigma_u - N$ にプロットすれば直線となり、図-2から得られる傾斜 m を用いて、ある載荷条件下における $N \rightarrow \infty$ のときの Δu つまり Δu_{max} が、 σ_u で推定される。これは、飽和粘性土の試験結果についても同様な報告がある。そして、くり返し荷重の大きなものはほど傾斜 m は小さくなり、 Δu が大きくなることを示している。また、図-3のように $\sigma_u - \epsilon_u$ をプロットすると、各拘束圧において載荷回数 N が十分大きくなると、 $\sigma_u - \epsilon_u$ の関係は必ず直線上にのるようである。このことが定性的なものならば、 Δu の増加は ϵ_u の増加に依存することになる。

図-4のように平均有効主応力を用いて、くり返し載荷による有効応力の変化が表示できる。破壊包絡線は各拘束圧で等方圧密した供試体の非排水三輪圧縮試験から求めたものである。くり返し載荷は一定の相差応力を掛けたわけであるから、その stress pass は、全応力の stress pass と考えられる傾き $\tan \phi'$ の直線上から出発して、水平に左方向へ進むことになる。その結果、 $N=10^3$ 回では破壊で示される位置まで平均有効主応力 σ_u が低下する。これは、非排水三輪圧縮試験の stress pass に近い。しかし、 $N=10^4$ 回になるとさらに σ_u が低下し、図-2において求められた傾斜 m から Δu_{max} を推定し、 σ_u を求めると、 $\sigma_u = 1.0 kN/cm^2$ と $\sigma_u = 1.5 kN/cm^2$ で $\sigma_{(1-\eta)_{\sigma_u}} = 0.85$ では破壊包絡線に達し、破壊に至るものと考えられる。そして、 $\sigma_{(1-\eta)_{\sigma_u}} = 0.70$ 以下では、破壊包絡線に達せず、過剰間ゲキ水圧は平衡状態に達し、図-3の関係から全ヒズミ ϵ_u が平衡状態に達することが予想される。

4. もとめ

以上、くり返し載荷による過剰間ゲキ水圧の変化について若干の傾向を述べて来たが、実験数が少なく、実験の不慣れによるバラツキも考えられるので、今後さらに載荷回数を増したものについても研究をすすめ、これらの傾向を確かめていくつもりである。

参考文献

- 1) 鈴木・荒牧・北園：土木学会西部支部研究発表会論文集(1975.2)
- 2) 鈴木・荒牧・北園：第10回土質工学研究発表会(1975.6)
- 3) 柴田・長谷川：第3回土質工学研究発表会(1973.6)
- 4) 土木工学会編：工質力学

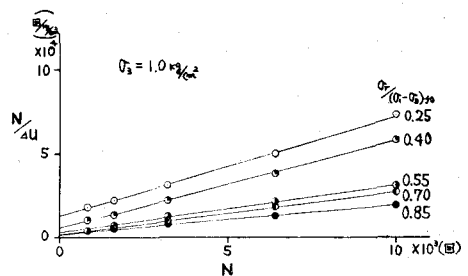


図-2 載荷回数(N) - $\frac{\Delta u}{\sigma_0}$

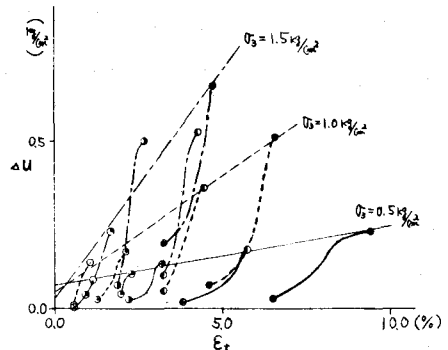


図-3 全ヒズミ(ϵ_u) - 間ゲキ水圧(Δu)

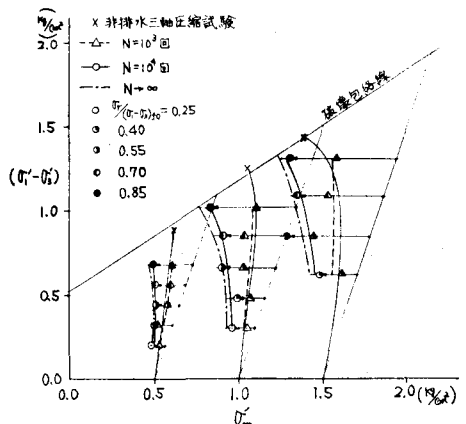


図-4 平均有効主応力表示による stress pass